

**$^{252}\text{Cf}$  SF decay 2005Lu21,1998Hw08**

Type	History		Literature Cutoff Date
	Author	Citation	
Full Evaluation	Jean Blachot	ENSDF	1-Jul-2006

Parent:  $^{252}\text{Cf}$ : E=0;  $J^\pi=0^+$ ;  $T_{1/2}=2.645$  y 8; %SF decay=?

All data are from 2005Lu21. The level scheme was less complete in 1998Hw08.

Measured  $\gamma$ ,  $\gamma\gamma\gamma$  using GAMMASPHERE array of 102 Compton-suppressed Ge detectors. In 1998Hw08, the GAMMASPHERE array contained 72 Ge detectors.

 $^{101}\text{Nb}$  Levels

E(level) <sup>†</sup>	$J^\pi$ <sup>‡</sup>	E(level) <sup>†</sup>	$J^\pi$ <sup>‡</sup>	E(level) <sup>†</sup>	$J^\pi$ <sup>‡</sup>	E(level) <sup>†</sup>	$J^\pi$ <sup>‡</sup>
0.0 <sup>#</sup>	(5/2 <sup>+</sup> )	572.78 <sup>&amp;</sup> 9	(9/2 <sup>-</sup> )	1373.68 <sup>a</sup> 12	(15/2 <sup>-</sup> )	2547.32 <sup>@</sup> 15	(23/2 <sup>+</sup> )
119.45 <sup>@</sup> 7	(7/2 <sup>+</sup> )	729.21 <sup>#</sup> 10	(13/2 <sup>+</sup> )	1599.37 <sup>c</sup> 13	(15/2 <sup>-</sup> )	2624.13 <sup>b</sup> 17	(21/2 <sup>-</sup> )
205.63 <sup>c</sup> 8	(3/2 <sup>-</sup> )	746.40 <sup>b</sup> 10	(9/2 <sup>-</sup> )	1692.98 <sup>&amp;</sup> 13	(17/2 <sup>-</sup> )	2810.18 <sup>a</sup> 19	(23/2 <sup>-</sup> )
208.71 <sup>&amp;</sup> 7	(5/2 <sup>-</sup> )	809.27 <sup>a</sup> 10	(11/2 <sup>-</sup> )	1772.88 <sup>@</sup> 13	(19/2 <sup>+</sup> )	2906.47 <sup>#</sup> 15	(25/2 <sup>+</sup> )
255.46 <sup>#</sup> 8	(9/2 <sup>+</sup> )	1005.81 <sup>c</sup> 11	(11/2 <sup>-</sup> )	1924.83 <sup>b</sup> 14	(17/2 <sup>-</sup> )	3206.88 <sup>&amp;</sup> 19	(25/2 <sup>-</sup> )
346.39 <sup>b</sup> 7	(5/2 <sup>-</sup> )	1073.08 <sup>&amp;</sup> 11	(13/2 <sup>-</sup> )	2046.18 <sup>a</sup> 16	(19/2 <sup>-</sup> )	3396.63 <sup>@</sup> 18	(27/2 <sup>+</sup> )
374.16 <sup>a</sup> 7	(7/2 <sup>-</sup> )	1093.01 <sup>@</sup> 11	(15/2 <sup>+</sup> )	2072.61 <sup>#</sup> 14	(21/2 <sup>+</sup> )		
532.18 <sup>@</sup> 9	(11/2 <sup>+</sup> )	1280.98 <sup>b</sup> 12	(13/2 <sup>-</sup> )	2288.9 <sup>c</sup> 10	(19/2 <sup>-</sup> )		
532.41 <sup>c</sup> 9	(7/2 <sup>-</sup> )	1339.58 <sup>#</sup> 12	(17/2 <sup>+</sup> )	2414.78 <sup>&amp;</sup> 16	(21/2 <sup>-</sup> )		

<sup>†</sup> From least-squares fit to  $E_\gamma$ 's (by evaluator).

<sup>‡</sup> As given by the authors based on band assignments.

<sup>#</sup> Band(A): 5/2[422],  $\alpha=+1/2$ .

<sup>@</sup> Band(a): 5/2[422],  $\alpha=-1/2$ .

<sup>&</sup> Band(B): 5/2[303],  $\alpha=+1/2$ .

<sup>a</sup> Band(b): 5/2[303],  $\alpha=-1/2$ .

<sup>b</sup> Band(C): 3/2[301],  $\alpha=+1/2$ .

<sup>c</sup> Band(c): 3/2[301],  $\alpha=-1/2$ .

 $\gamma(^{101}\text{Nb})$ 

$E_\gamma$ <sup>†</sup>	$I_\gamma$ <sup>‡</sup>	$E_i(\text{level})$	$J_i^\pi$	$E_f$	$J_f^\pi$	Comments
119.5	100	119.45	(7/2 <sup>+</sup> )	0.0	(5/2 <sup>+</sup> )	
136.0	64	255.46	(9/2 <sup>+</sup> )	119.45	(7/2 <sup>+</sup> )	
137.6		346.39	(5/2 <sup>-</sup> )	208.71	(5/2 <sup>-</sup> )	$E_\gamma$ : from figure 4 of 2005Lu21, not listed in authors' table 3.
140.8	14.1	346.39	(5/2 <sup>-</sup> )	205.63	(3/2 <sup>-</sup> )	
165.5	29.2	374.16	(7/2 <sup>-</sup> )	208.71	(5/2 <sup>-</sup> )	
186.0	9.5	532.41	(7/2 <sup>-</sup> )	346.39	(5/2 <sup>-</sup> )	
197.1	20.7	729.21	(13/2 <sup>+</sup> )	532.18	(11/2 <sup>+</sup> )	
198.6	17.6	572.78	(9/2 <sup>-</sup> )	374.16	(7/2 <sup>-</sup> )	
205.7	21.3	205.63	(3/2 <sup>-</sup> )	0.0	(5/2 <sup>+</sup> )	
208.7	36.4	208.71	(5/2 <sup>-</sup> )	0.0	(5/2 <sup>+</sup> )	
214.0	5.9	746.40	(9/2 <sup>-</sup> )	532.41	(7/2 <sup>-</sup> )	
(226.8)		346.39	(5/2 <sup>-</sup> )	119.45	(7/2 <sup>+</sup> )	$E_\gamma$ : from $\beta$ decay, not seen by 2005Lu21.
236.5	7.2	809.27	(11/2 <sup>-</sup> )	572.78	(9/2 <sup>-</sup> )	
246.6	7.2	1339.58	(17/2 <sup>+</sup> )	1093.01	(15/2 <sup>+</sup> )	
254.7		374.16	(7/2 <sup>-</sup> )	119.45	(7/2 <sup>+</sup> )	$E_\gamma$ : from figure 4 of 2005Lu21, not listed in authors' table 3.
255.4	6.8	255.46	(9/2 <sup>+</sup> )	0.0	(5/2 <sup>+</sup> )	
259.4	5.3	1005.81	(11/2 <sup>-</sup> )	746.40	(9/2 <sup>-</sup> )	

Continued on next page (footnotes at end of table)

**$^{252}\text{Cf}$  SF decay 2005Lu21,1998Hw08 (continued)** $\gamma(^{101}\text{Nb})$  (continued)

$E_\gamma$ <sup>†</sup>	$I_\gamma$ <sup>‡</sup>	$E_i(\text{level})$	$J_i^\pi$	$E_f$	$J_f^\pi$	$E_\gamma$ <sup>†</sup>	$I_\gamma$ <sup>‡</sup>	$E_i(\text{level})$	$J_i^\pi$	$E_f$	$J_f^\pi$
263.8	1	1073.08	(13/2 <sup>-</sup> )	809.27	(11/2 <sup>-</sup> )	473.7	1	729.21	(13/2 <sup>+</sup> )	255.46	(9/2 <sup>+</sup> )
275.2	1	1280.98	(13/2 <sup>-</sup> )	1005.81	(11/2 <sup>-</sup> )	474.7	1.1	2547.32	(23/2 <sup>+</sup> )	2072.61	(21/2 <sup>+</sup> )
276.7	1	532.18	(11/2 <sup>+</sup> )	255.46	(9/2 <sup>+</sup> )	490.3	#	3396.63	(27/2 <sup>+</sup> )	2906.47	(25/2 <sup>+</sup> )
299.7	1	2072.61	(21/2 <sup>+</sup> )	1772.88	(19/2 <sup>+</sup> )	500.3	1	1073.08	(13/2 <sup>-</sup> )	572.78	(9/2 <sup>-</sup> )
300.6	1	1373.68	(15/2 <sup>-</sup> )	1073.08	(13/2 <sup>-</sup> )	534.6	1	1280.98	(13/2 <sup>-</sup> )	746.40	(9/2 <sup>-</sup> )
318.4	1	1599.37	(15/2 <sup>-</sup> )	1280.98	(13/2 <sup>-</sup> )	560.8	1	1093.01	(15/2 <sup>+</sup> )	532.41	(7/2 <sup>-</sup> )
319.3	1	1692.98	(17/2 <sup>-</sup> )	1373.68	(15/2 <sup>-</sup> )	564.4	1	1373.68	(15/2 <sup>-</sup> )	809.27	(11/2 <sup>-</sup> )
325.4	1	1924.83	(17/2 <sup>-</sup> )	1599.37	(15/2 <sup>-</sup> )	593.5	1	1599.37	(15/2 <sup>-</sup> )	1005.81	(11/2 <sup>-</sup> )
326.8	1	532.41	(7/2 <sup>-</sup> )	205.63	(3/2 <sup>-</sup> )	610.4	1	1339.58	(17/2 <sup>+</sup> )	729.21	(13/2 <sup>+</sup> )
335.0	#	2624.13	(21/2 <sup>-</sup> )	2288.9	(19/2 <sup>-</sup> )	619.9	1	1692.98	(17/2 <sup>-</sup> )	1073.08	(13/2 <sup>-</sup> )
346.4	1	346.39	(5/2 <sup>-</sup> )	0.0	(5/2 <sup>+</sup> )	643.9	1	1924.83	(17/2 <sup>-</sup> )	1280.98	(13/2 <sup>-</sup> )
353.2	#	2046.18	(19/2 <sup>-</sup> )	1692.98	(17/2 <sup>-</sup> )	672.5	1	2046.18	(19/2 <sup>-</sup> )	1373.68	(15/2 <sup>-</sup> )
359.1	1	2906.47	(25/2 <sup>+</sup> )	2547.32	(23/2 <sup>+</sup> )	679.8	1	1772.88	(19/2 <sup>+</sup> )	1093.01	(15/2 <sup>+</sup> )
363.8	1	1093.01	(15/2 <sup>+</sup> )	729.21	(13/2 <sup>+</sup> )	689.5	#	2288.9	(19/2 <sup>-</sup> )	1599.37	(15/2 <sup>-</sup> )
364.1	1	572.78	(9/2 <sup>-</sup> )	208.71	(5/2 <sup>-</sup> )	699.3	1	2624.13	(21/2 <sup>-</sup> )	1924.83	(17/2 <sup>-</sup> )
364.2	#	2288.9	(19/2 <sup>-</sup> )	1924.83	(17/2 <sup>-</sup> )	721.8	1	2414.78	(21/2 <sup>-</sup> )	1692.98	(17/2 <sup>-</sup> )
374.1	1	374.16	(7/2 <sup>-</sup> )	0.0	(5/2 <sup>+</sup> )	733.1	1	2072.61	(21/2 <sup>+</sup> )	1339.58	(17/2 <sup>+</sup> )
400.0	1	746.40	(9/2 <sup>-</sup> )	346.39	(5/2 <sup>-</sup> )	764.0	1	2810.18	(23/2 <sup>-</sup> )	2046.18	(19/2 <sup>-</sup> )
412.8	1	532.18	(11/2 <sup>+</sup> )	119.45	(7/2 <sup>+</sup> )	774.4	1	2547.32	(23/2 <sup>+</sup> )	1772.88	(19/2 <sup>+</sup> )
433.3	1	1772.88	(19/2 <sup>+</sup> )	1339.58	(17/2 <sup>+</sup> )	792.1	1	3206.88	(25/2 <sup>-</sup> )	2414.78	(21/2 <sup>-</sup> )
435.1	1	809.27	(11/2 <sup>-</sup> )	374.16	(7/2 <sup>-</sup> )	833.9	1	2906.47	(25/2 <sup>+</sup> )	2072.61	(21/2 <sup>+</sup> )
473.4	1	1005.81	(11/2 <sup>-</sup> )	532.41	(7/2 <sup>-</sup> )	849.3	1	3396.63	(27/2 <sup>+</sup> )	2547.32	(23/2 <sup>+</sup> )

<sup>†</sup> 2005Lu21 state 0.1 keV as the systematic uncertainty in energy determination.

<sup>‡</sup> Uncertainty varies from 3% for strong transitions to 20% for weaker ones. When no intensity is listed, the peak has very small intensity or overlapped by other transitions.

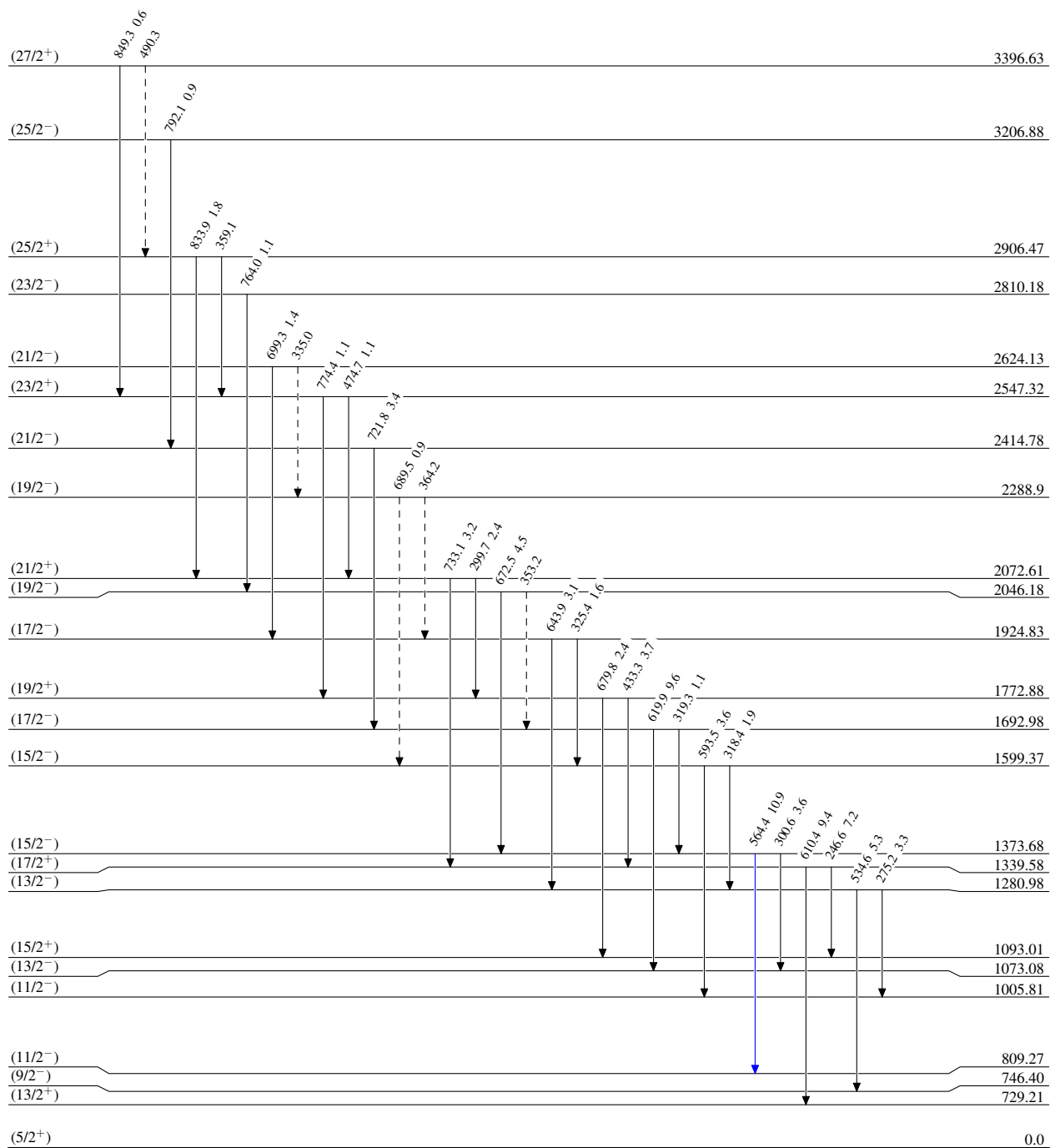
# Placement of transition in the level scheme is uncertain.

$^{252}\text{Cf}$  SF decay 2005Lu21,1998Hw08

Legend

Level Scheme  
 Intensities: Relative  $I_\gamma$

- $\longrightarrow$   $I_\gamma < 2\% \times I_\gamma^{\max}$   
 $\longrightarrow$   $I_\gamma < 10\% \times I_\gamma^{\max}$   
 $\longrightarrow$   $I_\gamma > 10\% \times I_\gamma^{\max}$   
 $\dashrightarrow$   $\gamma$  Decay (Uncertain)

 $^{101}_{41}\text{Nb}_{60}$

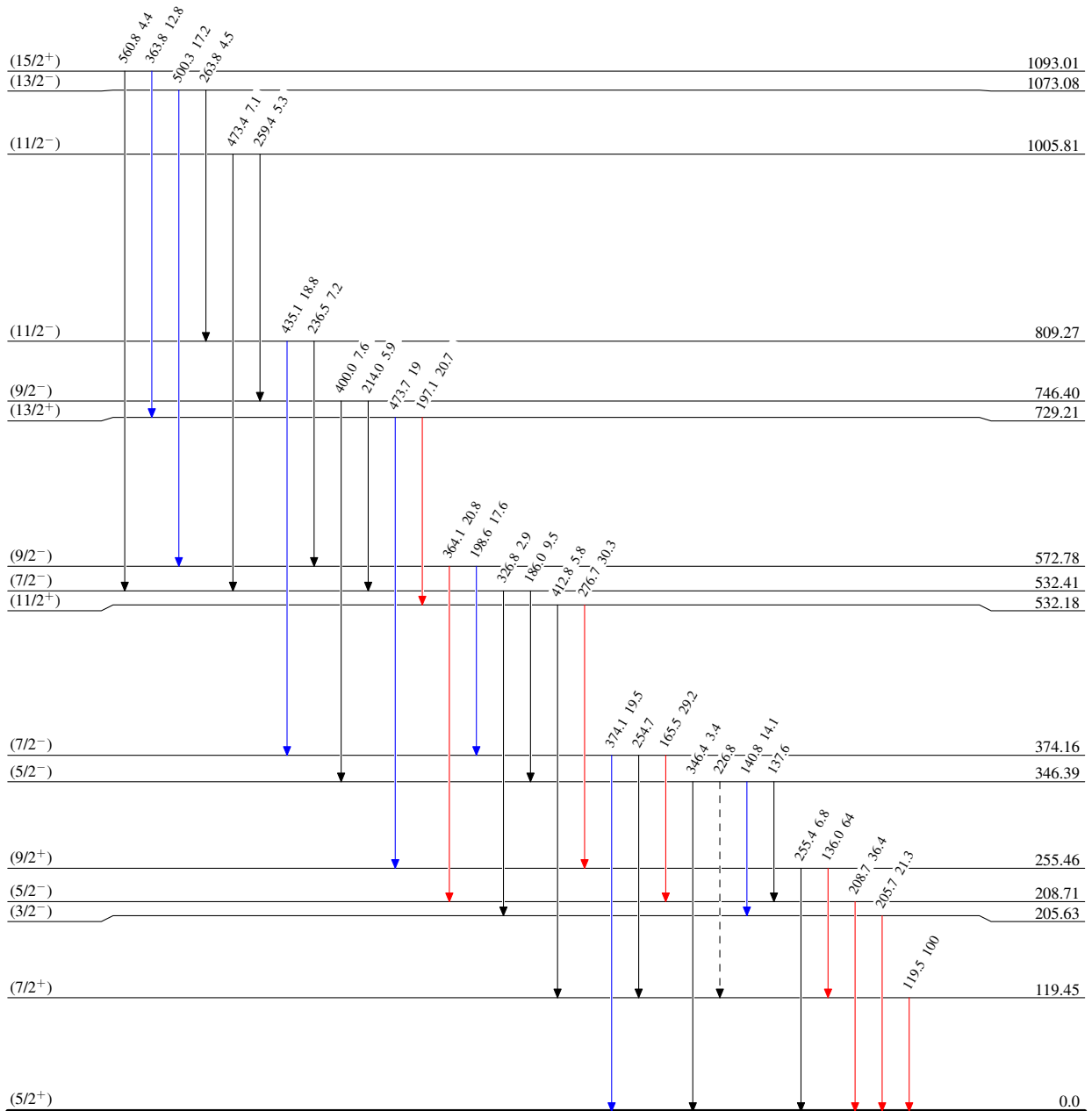
$^{252}\text{Cf}$  SF decay 2005Lu21,1998Hw08

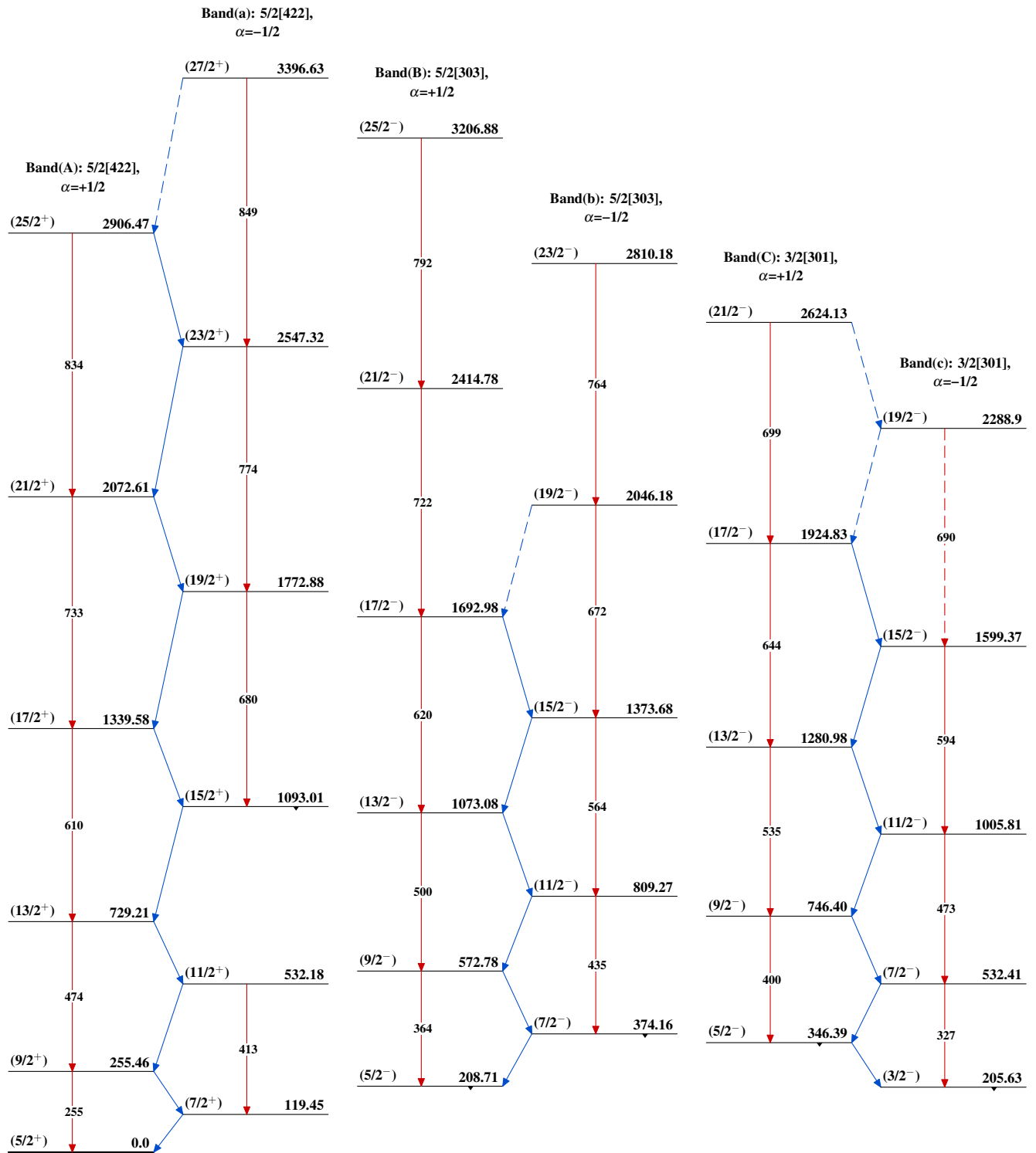
Legend

## Level Scheme (continued)

Intensities: Relative  $I_\gamma$ 

- ▶  $I_\gamma < 2\% \times I_\gamma^{\max}$
- ▶  $I_\gamma < 10\% \times I_\gamma^{\max}$
- ▶  $I_\gamma > 10\% \times I_\gamma^{\max}$
- - -▶  $\gamma$  Decay (Uncertain)

 $^{101}_{41}\text{Nb}_{60}$

$^{252}\text{Cf}$  SF decay 2005Lu21,1998Hw08 $^{101}_{41}\text{Nb}_{60}$